

PEF-3301 – Resistência dos Materiais e Estática das Construções II

Coletânea de Enunciados — Análise Matricial de Estruturas.

Nota 1 O objetivo desta coletânea é fazer com que os alunos aproveitem melhor a *Coletânea de provas resolvidas de PEF2302 - Mecânica das Estruturas I, Mazzilli et al. 2009* (disponibilizada para consulta na biblioteca). Espera-se que ao procurar os gabaritos, os alunos tomem conhecimento de outras questões que os orientem nos estudos.

- (2006, P1 Q1[6,0]) Considere a estrutura I cujas barras, nós e graus de liberdade (GL's) encontram-se numerados.

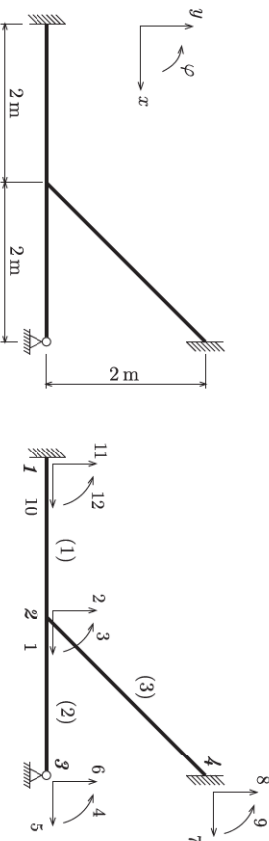


Fig. E1.1 - Estrutura I

As propriedades do material e da seção transversal das barras são

$$E = 20 \times 10^6 \text{ kN/m}^2, \quad A = 0,12 \text{ m}^2, \quad I = 3,6 \times 10^{-3} \text{ m}^4$$

e a matriz de rigidez completa da estrutura é dada por

1	2	3	4	5	6	7	8	9	10	11	12
2843356	405172	-38184	0	-1200000	0	-443356	-405172	-38184	-1200000	0	0
405172	659356	38184	108000	0	-108000	-405172	-443356	38184	0	-108000	-108000
-38184	38184	389823	72000	0	-108000	38184	-38184	50912	0	108000	72000
0	108000	72000	144000	0	-108000	0	0	0	0	0	0
-1200000	0	0	0	1200000	0	0	0	0	0	0	0
0	-108000	-108000	-108000	0	108000	0	0	0	0	0	0
-443356	-405172	38184	0	0	443356	405172	38184	0	0	0	0
-405172	-443356	-38184	0	0	405172	443356	-38184	0	0	0	0
-38184	38184	50912	0	0	38184	-38184	101823	0	0	0	0
-1200000	0	0	0	0	0	0	0	1200000	0	0	0
0	-108000	108000	0	0	0	0	0	0	108000	108000	11
0	-108000	72000	0	0	0	0	0	0	108000	144000	12

Considere agora a estrutura II obtida articulando-se o nó central da estrutura anterior. Ambas são descritas pelos mesmos GL's, a menos do GL 3 que na estrutura II descreve a rotação da extremidade 2 da barra 3.

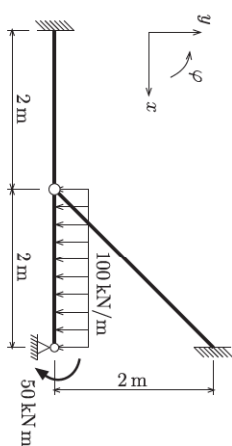


Fig. E1.2 - Estrutura II

A análise matricial da estrutura II forneceu o seguinte vetor de deslocamentos globais

$$(\mathbf{U}^{\text{II}})^T = 10^{-3} \begin{bmatrix} U_1 & U_2 & U_3 & U_4 & U_5 & U_6 & U_7 & U_8 & U_9 & U_{11} & U_{12} \\ 0,02824 & -0,19044 & 0,08200 & 0,09522 & 0 & 0 & 0 & 0 & 0 & 0 & 0 \end{bmatrix},$$

com os deslocamentos em metros e as rotações em radianos. Conhecidas as expressões das matrizes de rigidez das barras bi-engastada, articulada-engastada e engastada-articulada; e os correspondentes esforços de engastamento perfeito para a carga uniformemente distribuída (ver formulário), pedem-se para a estrutura II,

- a matriz de rigidez reduzida, $\mathbf{K}^{\text{II}}_{aa}$;
- os vetores reduzidos $\mathbf{F}^{\text{II}}_{aa}$ e $\mathbf{F}^{\text{II}}_{aa}$ do carregamento;
- os diagramas de esforços solicitantes na barra 2.

- (2006, P1 Q2[4,0]) Para a treliça ao lado, determine os deslocamentos horizontal e vertical do nó D e as forças normais em todas as barras usando a análise matricial de estruturas. É dada a expressão geral da matriz de rigidez de uma barra de treliça inclinada de um ângulo α em relação ao eixo x .

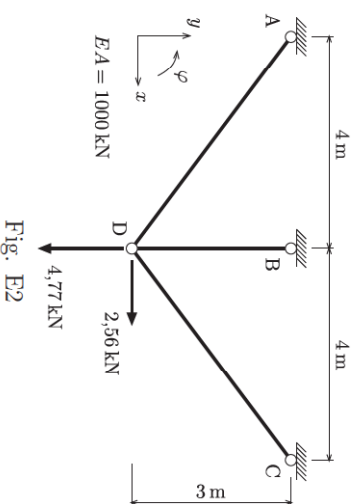


Fig. E2

$$\mathbf{k}_e = \frac{EA}{\ell} \begin{bmatrix} \cos^2 \alpha & \sin \alpha \cos \alpha & -\cos^2 \alpha & -\sin \alpha \cos \alpha \\ \sin \alpha \cos \alpha & \sin^2 \alpha & -\sin \alpha \cos \alpha & -\sin^2 \alpha \\ -\cos^2 \alpha & -\sin \alpha \cos \alpha & \cos^2 \alpha & \sin \alpha \cos \alpha \\ -\sin \alpha \cos \alpha & -\sin^2 \alpha & \sin \alpha \cos \alpha & \sin^2 \alpha \end{bmatrix}$$

3. (2006, PS Q1[5,0]) Considere a estrutura da figura E3 submetida ao carregamento indicado. Os deslocamentos e as rotações da estrutura encontram-se na tabela e foram calculados admitindo as seguintes propriedades das barras:

$$E = 20 \times 10^6 \text{ kN/m}^2, \quad A = 0,12 \text{ m}^2, \quad I = 3,6 \times 10^{-3} \text{ m}^4,$$

Dada a matriz de rigidez da barra 1 no sistema local e a matriz de transformação \mathbf{T} do sistema local para o global,

$$\bar{\mathbf{k}}_1 = 10^3 \begin{bmatrix} 848,5 & 0 & 0 & -848,5 & 0 & 0 \\ 0 & 38,2 & 54,0 & 0 & -38,2 & 54,0 \\ 0 & 54,0 & 101,8 & 0 & -54,0 & 50,9 \\ -848,5 & 0 & 0 & 848,5 & 0 & 0 \\ 0 & -38,2 & -54,0 & 0 & 38,2 & -54,0 \\ 0 & 54,0 & 50,9 & 0 & -54,0 & 101,8 \end{bmatrix}; \quad \mathbf{T}_1 = \begin{bmatrix} t & 0 \\ 0 & t \end{bmatrix},$$

$$t = \begin{bmatrix} -0,707 & 0,707 & 0 \\ -0,707 & -0,707 & 0 \\ 0 & 0 & 1 \end{bmatrix},$$

obtenha:

- o vetor \mathbf{f}_1^0 contendo os esforços de engastamento perfeito;
- o vetor $\bar{\mathbf{u}}_1$ de deslocamentos nas extremidades da barra 1 no sistema local;
- o vetor $\bar{\mathbf{f}}_1$ de esforços nas extremidades da barra 1 no sistema local;
- os diagramas de esforços solicitantes na barra 1.

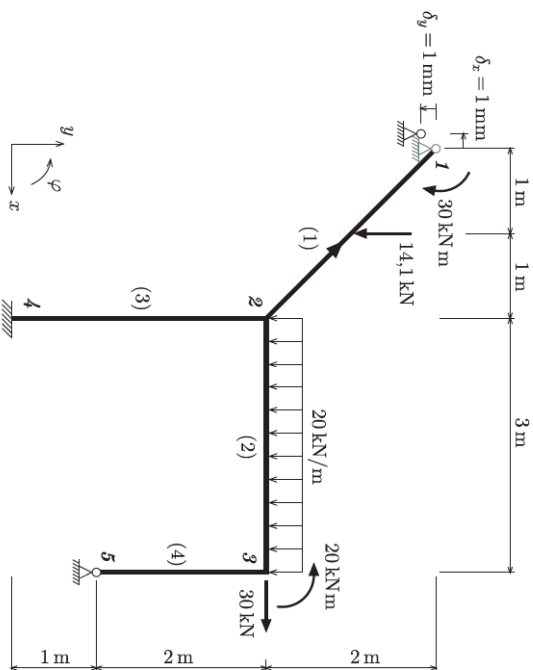


Fig. E3 - Representação da estrutura.

Deslocamentos e rotações nodais da estrutura.

Nó	$u_x (10^{-3} \text{ m})$	$u_y (10^{-3} \text{ m})$	$\varphi (10^{-3} \text{ rad})$
1	-1,000	-1,000	0,2821
2	-0,08678	-0,08598	0,1478
3	-0,05872	-0,01423	0,1692
4	0	0	0
5	0	0	-0,04057

4. (2001, P1 Q1[6,0]) Resolva a estrutura abaixo seguindo as etapas da análise matricial de estruturas (processo dos deslocamentos) e obtenha:

- a matriz de rigidez reduzida da estrutura;
- os vetores \mathbf{f}_a^0 e \mathbf{f}_e^0 contendo os esforços de engastamento perfeito das barras 1 e 2 no sistema global;
- os vetores reduzidos \mathbf{F}_a^0 e \mathbf{F}_e^0 de carregamento da estrutura;
- as componentes dos deslocamentos nodais decorrentes dos esforços aplicados;
- os vetores $\bar{\mathbf{f}}_1$ e $\bar{\mathbf{f}}_3$ dos esforços de extremidade das barras 1 e 3 no sistema local;
- os diagramas de esforços solicitantes nas barras 1 e 3.

São dadas:

- a matriz de rigidez comum às barras 1 e 2 no sistema local,

$$\bar{\mathbf{k}}_1 = \bar{\mathbf{k}}_2 = 10^2 \begin{bmatrix} 2000 & 0 & 0 & -2000 & 0 & 0 \\ 0 & 12 & 24 & 0 & -12 & 24 \\ 0 & 24 & 64 & 0 & -24 & 32 \\ -2000 & 0 & 0 & 2000 & 0 & 0 \\ 0 & -12 & -24 & 0 & 12 & -24 \\ 0 & 24 & 32 & 0 & -24 & 64 \end{bmatrix}$$

- a matriz de rigidez da barra 3 no sistema global

$$\mathbf{k}_3 = 10^2 \begin{bmatrix} 1001,5 & 998,5 & 0 & -1001,5 & -998,5 & -8,5 \\ 998,5 & 1001,5 & 0 & -998,5 & -1001,5 & 8,5 \\ 0,0 & 0,0 & 0 & 0,0 & 0,0 & 0,0 \\ -1001,5 & -998,5 & 0 & 1001,5 & 998,5 & 8,5 \\ -998,5 & -1001,5 & 0 & 998,5 & 1001,5 & -8,5 \\ -8,5 & 8,5 & 0 & 8,5 & -8,5 & 48,0 \end{bmatrix}$$

- e as expressões dos esforços de engastamento perfeito (ver formulário).

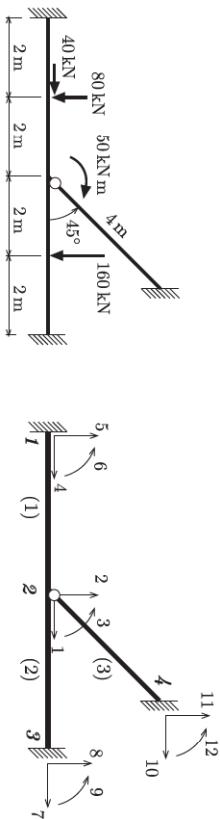


Fig. E4 - Carregamento e numeração dos graus de liberdade.

5. (2001, PS Q1[5,0]) Para a estrutura A mostrada na figura E5, determine

- a) a matriz de rigidez completa \mathbf{K}^A ;
- b) os vetores nodais equivalentes \mathbf{f}_e^{0A} no sistema global para as barras 1 e 3;
- c) os vetores reduzidos \mathbf{F}_a^{0A} e \mathbf{F}_a^A dos esforços nodais da estrutura;
- d) as componentes de deslocamento do nó 1;
- e) a reação de apoio correspondente ao grau de liberdade 5;
- f) o vetor \mathbf{F}^3 de esforços de extremidade da barra 3 no sistema local;
- g) os diagramas de esforços solicitantes na barra 3.

• a matriz de rigidez da barra 3 no sistema global

$$k_3 = 10^2 \begin{bmatrix} 6 & 0 & -24 & -6 & 0 & -24 \\ 0 & 1500 & 0 & 0 & -1500 & 0 \\ -24 & 0 & 128 & 24 & 0 & 64 \\ -6 & 0 & 24 & 6 & 0 & 24 \\ 0 & -1500 & 0 & 0 & 1500 & 0 \\ -24 & 0 & 64 & 24 & 0 & 128 \end{bmatrix}$$

• a matriz de rigidez completa da estrutura B

$$K^B = 10^2 \begin{bmatrix} 1 & 2 & 3 & 4 & 5 & 6 & 7 & 8 & 9 \\ 2006 & 0 & 24 & -2000 & 0 & 0 & -6 & 0 & 24 \\ 0 & 1512 & 24 & 0 & -12 & 24 & 0 & -1500 & 0 \\ 24 & 24 & 192 & 0 & -24 & 32 & -24 & 0 & 64 \\ -2000 & 0 & 0 & 2000 & 0 & 0 & 0 & 0 & 0 \\ 0 & -12 & -24 & 0 & 12 & -24 & 0 & 0 & 0 \\ 0 & 24 & 32 & 0 & -24 & 64 & 0 & 0 & 0 \\ -6 & 0 & -24 & 0 & 0 & 0 & 6 & 0 & -24 \\ 0 & -1500 & 0 & 0 & 0 & 0 & 0 & 1500 & 0 \\ 24 & 0 & 64 & 0 & 0 & 0 & -24 & 0 & 128 \end{bmatrix}$$

• as expressões dos esforços de engastamento perfeito (ver formulário).

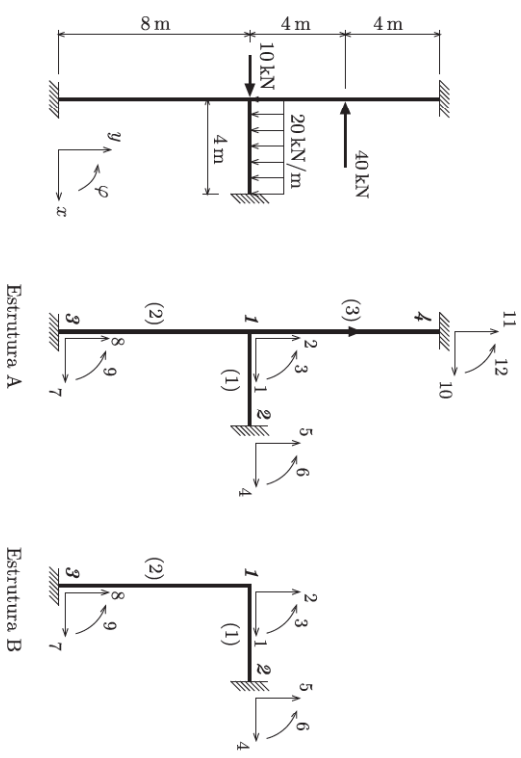


Fig. E5 - Carregamento e numeração dos graus de liberdade.

6. (1999, P1 Q1[6,5]) A análise matricial da estrutura da figura E6 forneceu o seguinte vetor reduzido de deslocamentos nodais

$$\mathbf{U}_a^T = 10^{-3} \begin{bmatrix} U_1 & U_2 & U_3 \\ -0,0667 & -1,2557 & 0,6849 \end{bmatrix}$$

com valores em metros e radianos. Além da carga de 10 kN e das forças distribuídas de 30 kN/m, o carregamento incluiu a força longitudinal F e os deslocamentos impostos δ

e φ . Dada a matriz de rigidez completa da estrutura,

1	2	3	4	5	6	7	8	9	
300	0	0	-200	0	0	-100	0	0	1
15	-9	0	-12	-12	0	-3	3	2	
20	0	12	8	0	-3	2	3		
		200	0	0	0	0	0	4	
			12	12	0	0	0	5	
			16	0	0	0	0	6	
				100	0	0	0	7	
					3	-3	8		
					4		9		

$K = 10^3$

Simm.

e a matriz k_2 da barra 2 no sistema global,

$$k_2 = 10^3 \begin{bmatrix} 100 & 0 & 0 & -100 & 0 & 0 \\ 0 & 3 & 3 & 0 & -3 & 3 \\ 0 & 3 & 3 & 0 & -3 & 2 \\ -100 & 0 & 0 & 100 & 0 & 0 \\ 0 & -3 & -3 & 0 & 3 & -3 \\ 0 & 3 & 2 & 0 & -3 & 4 \end{bmatrix}$$

Determine:

- o vetor \mathbf{F}^0 contendo os esforços nodais de engastamento perfeito, sabendo-se que o momento de engastamento de uma viga bi-engastada submetida a um carregamento transversal uniforme q é $\frac{qL^2}{12}$.
- os valores dos deslocamentos impostos φ e δ , bem como o da força externa ativa F ;
- a matriz de rigidez da barra 1 no sistema global;
- os esforços nas extremidades da barra 1 no sistema local;
- os diagramas de esforços solicitantes na barra 2.

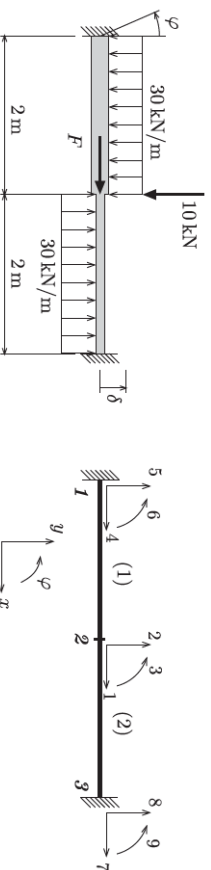


Fig. E6 - Carregamento e numeração dos graus de liberdade.

R.: $\varphi = -0,001 \text{ rad}$, $\delta = -0,001 \text{ m}$, $[\mathbf{f}_2]^T = [-6,7 \ -28,7 \ -8,0 \ 6,7 \ -31,3 \ 10,6]$.

7. (1999, PR Q1[2,0]) Na análise matricial da estrutura da figura E7, cada nó possui um grau de liberdade de rotação além dos de translação. Sabendo que são pedidas as rotações da extremidade 3 da barra 2 e da extremidade 7 da barra 8, determine:

- os ângulos α^e e as condições de extremidade das barras (E: engastada, A: articulada) de acordo com as orientações na figura;
- as dimensões das matrizes de rigidez completa e reduzida da estrutura.

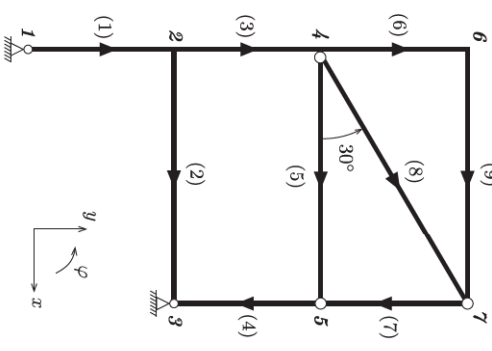


Fig. E7